

ВИЗНАЧЕННЯ ТЕМПЕРАТУРИ НА ТОРЦЯХ ЦИЛІНДРИЧНОЇ ДЕТАЛІ ПРИ ДВОСТОРОННЬОМУ ШЛІФУВАННІ

У статті розглянутий новий засіб шліфування торців обробці деталей, які не обертаються при обробці. Наведено методіку розрахунку температур у будь-яких точках деталі, що оброблюється в різноманітні моменти часу.

Для підвищення продуктивності і точності обробки циліндричних деталей 1, 1' (рис. 1) розроблений новий засіб одночасного двостороннього шліфування торців профільованими та орієнтованими (кут ψ) кругами 2 (заявка на патент України № 971126463 пріоритет, від 30.12.97). Продуктивність обмежується теплонапружністю процесу шліфування [1]. Отримані дослідниками залежності для визначення температури в зоні обробки відносяться, в основному, для круглого шліфування периферією круга.

Так як при шліфуванні кожне абразивне зерно 3, вступаючи в роботу, деформує і зрізає не холодний, а нагрітий метал [1], то локальну температуру $\theta_{л}$ під зерном, при шліфуванні торців циліндричної деталі торцем круга, можна визначити з виразу

$$\theta_{л} = \theta_{ин} + \theta_{р}, \quad (1)$$

де $\theta_{ин}$ - температура попереднього підігріву заготовки; $\theta_{р}$ - температура, що виникає як результат процесу різання на одному зерні.

$$\theta_{р} = \frac{\theta_1 \cdot l_1 + \theta_2 \cdot l_2}{l_1 + l_2}, \quad (2)$$

де θ_1 і θ_2 - локальні температури на передній і задній поверхнях зерна; l_1 і l_2 - довжини контактних площадок на них (рис.1, а, б).

θ_1 і θ_2 визначаються по балансових рівняннях [2]

$$\theta_1 = \theta_{д} + A_1 \cdot q_{1Г} - A_2 \cdot q_1 = \frac{0,36 \cdot b \cdot F^*}{\lambda_1 \cdot X_{CP}} \cdot (q_1 \cdot l_1 + C_2 \cdot q_2 \cdot l_2); \quad (3)$$

$$\theta_2 = \theta_{д} \cdot T_{и} + A_3 \cdot q_{2Г} - A_4 \cdot q_2 = \frac{0,36 \cdot b \cdot F^*}{\lambda_1 \cdot X_{CP}} \cdot (q_1 \cdot l_2 + C_1 \cdot q_1 \cdot l_1), \quad (4)$$

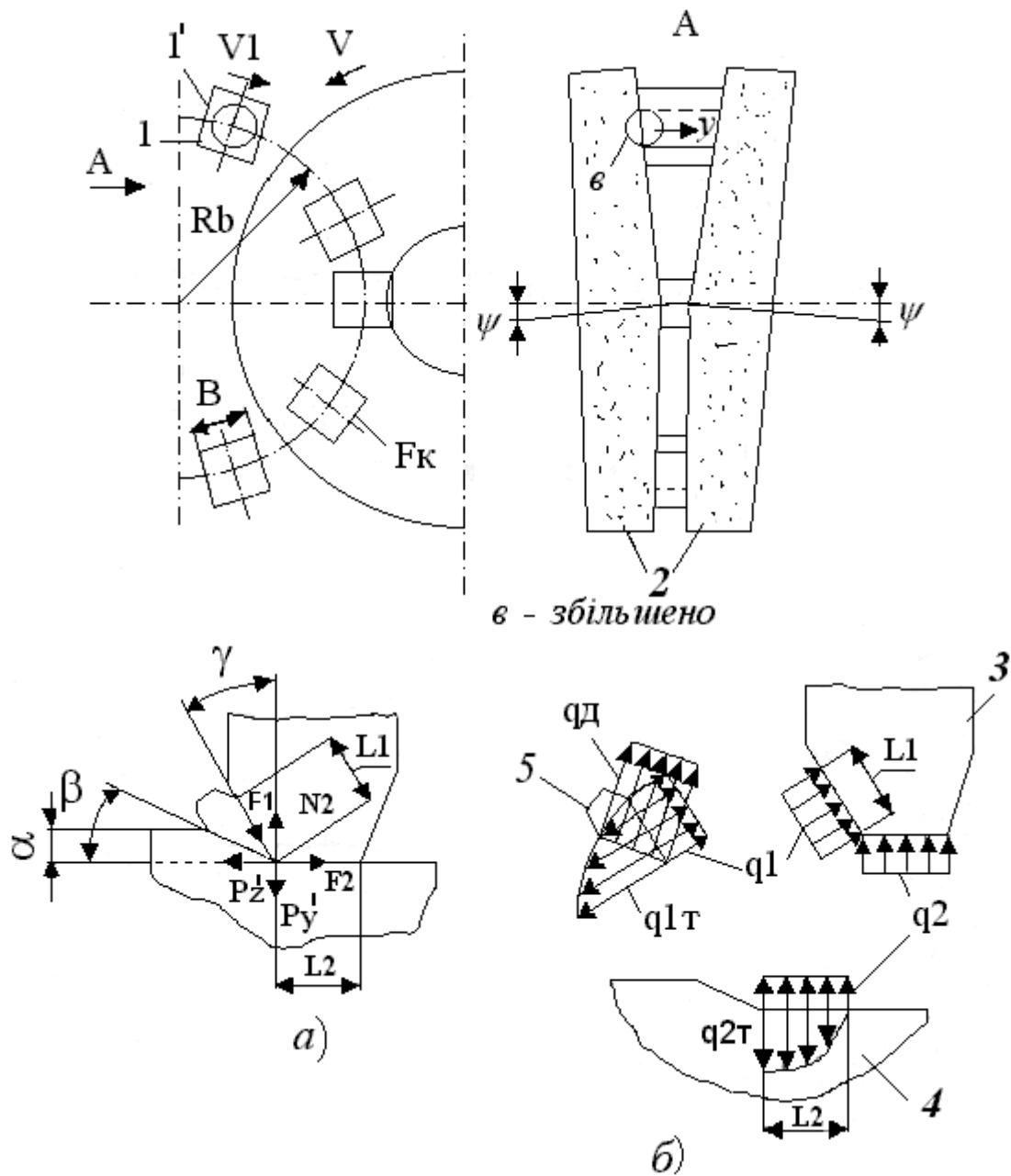
де $\theta_{д}$ - температура деформування; $q_{1Г}$ і $q_{2Г}$ - щільності теплових потоків від тертя на поверхнях стружки 5 і деталі 4 у зонах контакту з передньою і задньою поверхнями зерна; q_1 і q_2 - підсумкові теплові потоки на передній і задній поверхнях зерна; A_1, A_2, A_3, A_4 - коефіцієнти впливу, обумовлені за методикою, яка викладена в [2]; b - ширина зрізу; λ_1 - коефіцієнт теплопровідності матеріалу зерна; X_{CP} - середньомовірний розмір ріжучого зерна; C_1, C_2 - коефіцієнти, що враховують взаємовплив джерел, розташованих на передній і задній поверхнях зерна, визначаються з виразів $C_1 \approx 0,85 \cdot \left(1 - \frac{b}{l_2}\right)$,

$C_2 \approx 0,3 \cdot \left(2 + \frac{b}{l_2}\right)$; $T_{и}$ - передатна функція; F^* - функція, що враховує час контакту зерна з заготовкою і теплопровідність абразивного інструмента.

Температура деформування $\theta_{д}$ визначається з виразу

$$\theta_{д} = \frac{\omega \cdot b^* \cdot q_{д}}{\lambda \cdot v}, \quad (5)$$

де ω - коефіцієнт температуропровідності матеріалу, що оброблюється; $q_{д}$ - щільність теплового потоку, що виникає при деформуванні матеріалу заготовки; b^* - коефіцієнт, що враховує розподіл цього



Мал. 1 Схема двостороннього торцевого шліфування

потоків, між стружкою і заготовкою; λ - коефіцієнт теплопровідності матеріалу заготовки; v - швидкість шліфування.

Коефіцієнт b^* відповідно до [2] дорівнює

$$b^* = \left(\frac{1 + 1,5 \cdot K}{\sqrt{P_{\text{ЕД}}}} \right)^{-1}, \quad (6)$$

де K - коефіцієнт усадки стружки; $P_{\text{ЕД}}$ - критерій Пекле (для шару, що деформується), що знаходять по формулі

$$P_{\text{ЕД}} = \frac{v \cdot a}{\omega \cdot \sin \beta}, \quad (7)$$

де a - середньомовірна товщина зрізу; β - середньомовірний кут зсуву.

а знаходять із виразу [2]

$$a \approx 1,65 \cdot X_{CP} \cdot [(1-\varepsilon) \cdot \omega^* / (v \cdot K^*)]^{0,25}, \quad (8)$$

де ε - відносне критичне замурування; K^* - концентрація ріжучого матеріалу в інструменті; ω^* - швидкість занурення зерна в матеріал, що оброблюється

$$\omega^* = \frac{v_1 \cdot t}{B}, \quad (9)$$

де v_1 - швидкість подачі заготовки; t - глибина різання; B - ширина заготовки.

Щільність теплового потоку від деформації знаходять із виразу [1]

$$q_d = \frac{W_d \cdot \sin \beta}{a \cdot b}, \quad (10)$$

де W_d - потужність тепловиділення джерел, що виникають як результат переходу в тепло роботи деформування.

$$W_d = W_z - W_1 - W_2, \quad (11)$$

де W_z - потужність тепловиділення на одному зерні; W_1 і W_2 - потужності тепловиділення, як результат тертя стружки по передній поверхні зерна і його задній поверхні по заготовці.

$$W_z = P_z^1 \cdot v, \quad (12)$$

де P_z^1 - тангенціальна складова сили різання, що припадає на одне зерно.

P_z^1 визначають на підставі методики, яка викладена в [1] і [3]

$$P_z^1 = \tau_s \cdot a \cdot \sqrt{2 \cdot \rho \cdot a} \cdot \frac{\sin(\beta + \varphi_s)}{\sin \beta \cdot \sin \varphi_s} + \tau_s \cdot 2 \cdot \sqrt{2 \cdot \rho \cdot a} \cdot l_2 \cdot \frac{\mu}{3 \cdot \mu_s} + \\ + 10^{-4} \cdot a \cdot 2 \cdot \sqrt{2 \cdot \rho \cdot a} \cdot \rho_M \cdot v^2 \cdot \left(1 - \frac{\sin \beta \cdot \sin \gamma}{\cos(\beta - \gamma)} \right), \quad (13)$$

де τ_s - напруження зсуву матеріалу, що оброблюється [1]; ρ - радіус вершини зерна; $\varphi_s = \arctg \mu_s$ - кут тертя; μ - коефіцієнт зовнішнього тертя; μ_s - коефіцієнт внутрішнього тертя; ρ_M - щільність матеріалу, що оброблюється; γ - передній кут на зерні.

$$W_1 = \frac{F_1 \cdot v}{K}, \quad (14)$$

де F_1 - сила тертя на передній поверхні зерна.

$$F_1 = (P_z^1 - F_2) \cdot \sin \gamma + (P_Y^1 - N_2) \cdot \cos \gamma, \quad (15)$$

де F_2 - сила тертя на задній поверхні зерна (вона входить, як складова в (13) у вигляді другої складової); P_Y^1 - нормальна складова сила різання на одному зерні; N_2 - нормальна сила на задній поверхні зерна.

P_Y^1 визначається з виразу [3]

$$P_Y^1 = \tau_s \cdot a \cdot \sqrt{2 \cdot \rho \cdot a} \cdot \frac{\cos(\beta + \varphi_s)}{\sin \beta \cdot \sin \varphi_s} + \tau_s \cdot 2 \cdot \sqrt{2 \cdot \rho \cdot a} \cdot l_2 \cdot \frac{1}{3 \cdot \mu_s} + \\ + 10^{-4} \cdot a \cdot 2 \cdot \sqrt{2 \cdot \rho \cdot a} \cdot \rho_M \cdot v^2 \cdot \left(\frac{\sin \beta \cdot \sin \gamma}{\cos(\beta - \gamma)} \right). \quad (16)$$

У виразі (16) друга складова - N_2 .

Потужність тепловиділення на задній поверхні зерна

$$W_2 = F_2 \cdot v. \quad (17)$$

Перша, друга і третя складова у формулах (13) і (16) описують, відповідно, проекції сил зсуву, тертя та інерції. Визначення параметрів b (3) (4) (10) (18) (19), γ (13) (15) (16) (24), β (7) (10) (13) (16) (22), ρ (13) (16), K (6) (14), μ (13) (16), μ_s (13) (16) здійснювалося за методиками, які викладені у роботах [3] і [4].

У балансових рівняннях (3) і (4) щільність теплових потоків на передній і задній поверхнях зерна можна визначити (приймаючи закон розподілу нормальний, несиметричний) із виразів:

$$q_{1T} = \frac{2 \cdot W_1 \cdot \sqrt{K_0}}{b \cdot \sqrt{\pi} \cdot \operatorname{erf}[l_1 \cdot \sqrt{K_0}]}, \quad (18)$$

$$q_{2T} = \frac{2 \cdot W_2 \cdot \sqrt{K_0}}{b \cdot \sqrt{\pi} \cdot \operatorname{erf}[l_2 \cdot \sqrt{K_0}]}, \quad (19)$$

де $K_0 = \frac{3}{l_1^2}$ в (18); $K_0 = \frac{3}{l_2^2}$ у (19); erf - функція помилок, що відповідно до [2] визначається з виразу

$$\operatorname{erf}[u] \approx \sqrt{1 - \exp[-1,26 \cdot u^2]}. \quad (20)$$

Передатну функцію T_H (4), що описує вплив джерела щільністю q_d (10) на температуру контактної площадки l_2 (рис. 1, б) визначають із виразу [2]

$$T_H \approx \sqrt{1 + \xi} - \sqrt{\xi}, \quad (21)$$

де $\xi = \frac{l_2}{2 \cdot a} \cdot \operatorname{tg} \beta$.

Функція F^* (3), (4) визначається по графіках, які наведено у [2], знаючи безрозмірний час

$$F_0 = \frac{\omega_1 \cdot \tau_p}{X_{CP}^2}, \quad (22)$$

де ω_1 - коефіцієнт температуропровідності матеріалу зерна; τ_p - час контакту між зерном і заготовкою (час одного різу),
і відношення

$$\Delta = \frac{\lambda_{\text{ЭКВ}}}{\lambda_1}, \quad (23)$$

де $\lambda_{\text{ЭКВ}}$ - еквівалентний коефіцієнт теплопровідності круга.

У (2 - 4) (13) (16) (18 - 19) присутні довжина контакту l_1 і l_2 (мал. 1, а), що визначають із виразів

$$l_1 = 2 \cdot a \cdot [K \cdot (1 - \operatorname{tg} \gamma) + \operatorname{sec} \gamma], \quad (24)$$

$$l_2 = (0,15 \div 0,35) \cdot X_{CP} \quad (25)$$

Підставляючи в (3) (4) розміри параметрів, які визначені вище, знаходимо підсумкові теплові потоки q_1 і q_2 , а знаючи їх, знаходимо значення температур θ_1 , θ_2 і θ_p (2).

Середня температура в межах зони контакту

$$\theta_{cp} = \theta_{mn} + n_p \cdot f \cdot \theta_p \quad (26)$$

де n_p - число активних ріжучих зерен на одиниці площі [2]; f - площа контакту з одним зерном [3].

Після визначення початкових і граничних умов, знаходять температуру на будь-яких ділянках заготовки в різноманітні моменти часу (рис. 1). Розбивши деталь, що оброблюється на окремі стержні з адіабатичними поверхнями і знаючи, що джерело тепла є **швидко рухоме**, температуру $\theta(y, \tau)$ визначають по формулі [2]

$$\theta(y, \tau) = \frac{2 \cdot q \cdot \sqrt{\omega}}{\lambda \cdot \sqrt{\pi}} \cdot \left\{ \sqrt{\tau} \cdot \exp\left[-\frac{y^2}{4 \cdot \omega \cdot \tau}\right] - \frac{y \cdot \sqrt{\pi}}{\sqrt{4 \cdot \omega}} \cdot \left(1 - \operatorname{erf}\left[\frac{y}{\sqrt{4 \cdot \omega \cdot \tau}}\right]\right) \right\} \quad (27)$$

де q - щільність джерела тепла; $\tau = \frac{d}{V}$ - час контакту, d - діаметр стержня; V - швидкість руху стержня; y - координата точки по довжині стержня (за умови, що $y = 0$ - на торці).

З виразу (27), знаючи τ і θ , розраховують q - (щільність теплового потоку) для $y = 0$, а знаючи q і y визначають температури для будь-якої ділянки.

Для реалізації математичної моделі (1), (26 - 27) на комп'ютері і виконання розрахункових експериментів розроблена програма розрахунку температур $\theta_{\text{л}}$, $\theta_{\text{ср}}$ і $\theta(y, \tau)$ в залежності від параметрів процесу шліфування.

Як показали наші розрахунки й експериментальні дослідження локальної (1) і середньої (26) температур на торці чотиригранної пластинки при шліфуванні абразивними кругами на двосторонньому торцешліфувальному верстаті моделі 3342 АДЮ, збільшення глибини шліфування з 0.02 мм до 0.03 мм при переміщенні деталі на радіусі барабана $R_b = 205$ мм, відносно круга на величину, що дорівнює довжині пластини, призводить до підвищення середньої $\theta_{\text{ср}}$ температури з 550° до 730° С.

Запропонована методика розрахунку дозволяє визначати температури в будь-яких точках деталей, що оброблюються у різноманітні моменти часу і простежити за зміною температури від моменту початку обробки до її завершення.

Експериментами доведено, що запропонований метод двостороннього шліфування, за рахунок орієнтації і профілювання кругів, дає можливість управляти зміною глибини різання і температури на торці деталі по координаті обробки.

Список використаної літератури:

1. Корчак С.Н. *Производительность процесса шлифования стальных деталей.* М.: Машиностроение, 1974. - 280 с.
2. Резников А.Н., Резников Л.А. *Тепловые процессы в технологических системах.* М.: Машиностроение, 1990. - 288 с.
3. Филимонов Л.Н. *Высокоскоростное шлифование.* - Л.: Машиностроение, 1979. - 248 с.
4. Рудик А.В., Ключниченко В.М., Кальченко В.В. *Визначення складових сили різання при шліфуванні орієнтованим інструментом.* Вісн. Черніг. і - та, 1996. №1, *Машинобудування, електроніка*, с. 99 - 105.